

NumPDEs

欧阳尚可 3190102458

2022 年 4 月 7 日

Ex 9.5

依题意得 $A\mathbf{x} = \mathbf{b}$ 和 $A\mathbf{e} = \mathbf{r}$, 因此有 $\frac{\|\mathbf{r}\|_2}{\|\mathbf{b}\|_2} \leq \|A\|_2 \frac{\|\mathbf{e}\|_2}{\|\mathbf{b}\|_2}$ 且 $\frac{\|\mathbf{e}\|_2}{\|\mathbf{x}\|_2} \geq \frac{1}{\|A\|_2} \frac{\|\mathbf{e}\|_2}{\|\mathbf{b}\|_2}$, 联立即可得 $\frac{1}{\text{cond}(A)} \frac{\|\mathbf{e}\|_2}{\|\mathbf{b}\|_2} \leq \frac{\|\mathbf{e}\|_2}{\|\mathbf{x}\|_2}$, 同理可证得另一个不等式。

Ex 9.8

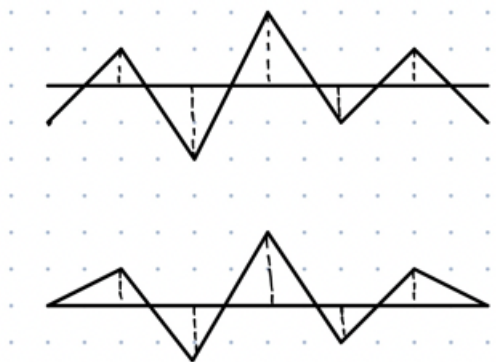
$\text{cond}(A) = \|A\|_2 \|A^{-1}\|_2 = \sqrt{\lambda_{\max} A^T A} \sqrt{\lambda_{\max} (A^{-1})^T A^{-1}}$, 观察矩阵 A 不难得到其对称性, 若 λ 是 A 的一个特征值, \mathbf{x} 为相应的特征向量, 有 $A^T A \mathbf{x} = \lambda A^T \mathbf{x} = \lambda^2 \mathbf{x}$, 由此得出要求 A 的二范数即求 A 的最大特征值。同时我们注意到 A^{-1} 的对称性以及 $A\mathbf{x} = A^{-1} A A \mathbf{x} = \lambda^2 A^{-1} \mathbf{x} = \lambda \mathbf{x}$, 得到 $\frac{1}{\lambda}$ 为 A^{-1} 的特征值。再由 lemma 7.24 知 $\text{cond}(A) = \frac{\lambda_{\max}(A)}{\lambda_{\min}(A)} = \frac{\sin^2 \frac{(n-1)\pi}{2n}}{\sin^2 \frac{\pi}{2n}}$ 。

由 Matlab 计算得, $n = 8, \text{cond}(A, 2) = 32.1634; n = 1024, \text{cond}(A, 1024) = 4.2580 \times 10^5$ 。

0.1 Ex 9.11

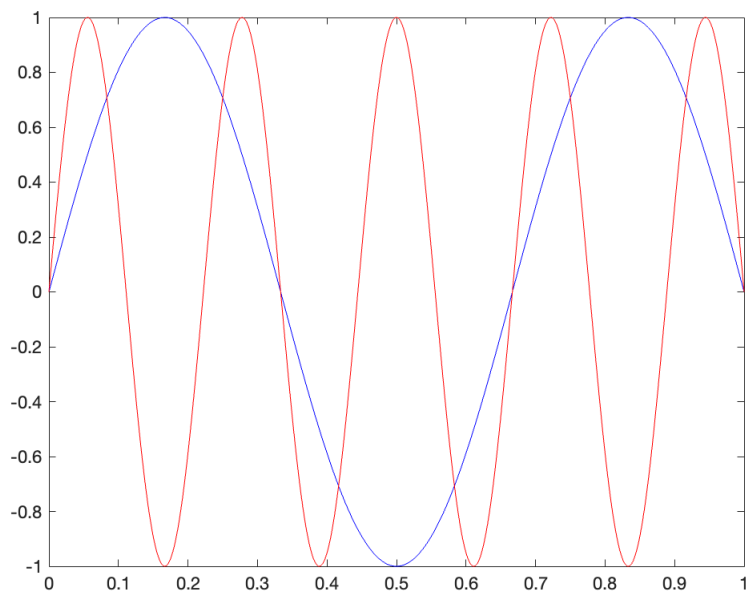
要使得波数最大, 则需要保证在每一个取值点处所取的值与其相邻的点异号。

若要在边界上取值为零, 本质上相当于减少了一个满足与其相邻的点异号的点。



Ex 9.14

由 Matlab 画图得如下所示图像, 其中红色为高频波, 蓝色为低频波。容易发现在上面均匀的取五个点会满足 $\sin(x_j k \pi) = -\sin(x_j k' \pi)$

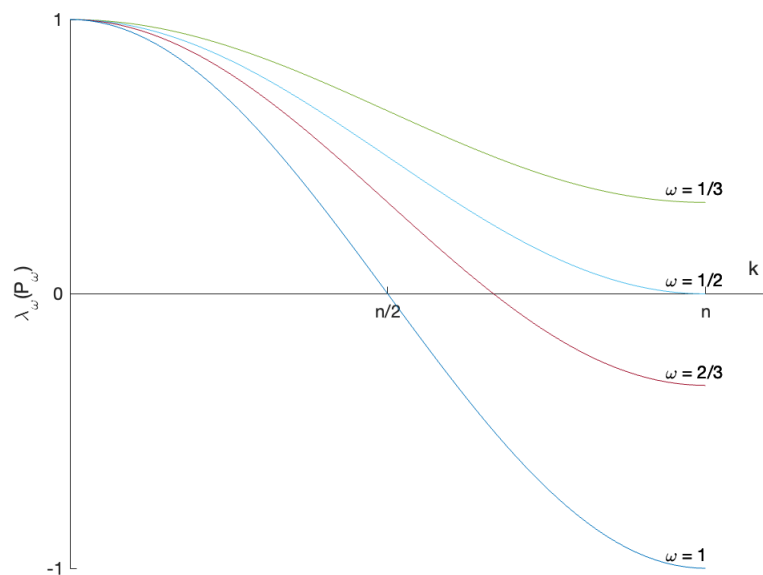


Ex 9.17

$$T_{\omega} = (1-\omega)I + \omega D^{-1}(L+U) = I - \omega D^{-1}(D-L-U) = I - \omega D^{-1}A = I - \frac{\omega h^2}{2}A$$

再由 lemma 7.24 知, A 的特征值为 $\lambda_k(A) = \frac{4}{h^2} \sin^2 \frac{k\pi}{2n}$, 由此可知 $\lambda_k(T_{\omega}) = 1 - 2\omega \sin^2 \frac{k\pi}{2n}$ 。

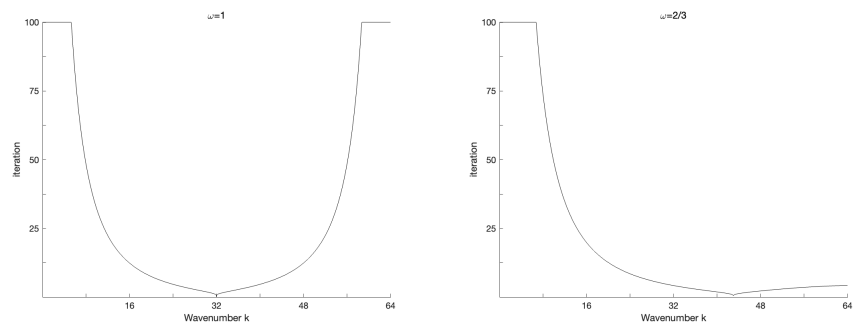
Ex 9.18



我们知道 $1 - \sin^2 \frac{\pi}{2 \cdot 64} = 0.99875$ ，因此有 $\rho(T_\omega) \geq 0.9986$ 。因此其收敛速度很慢。

Ex 9.21

从图像中不难看出在 $\omega = 1$ 时仅在 $16 \leq k \leq 48$ 有较好的收敛速度。在 $\omega = 1$ 时仅在 $16 \leq k \leq 64$ 有较好的收敛速度。



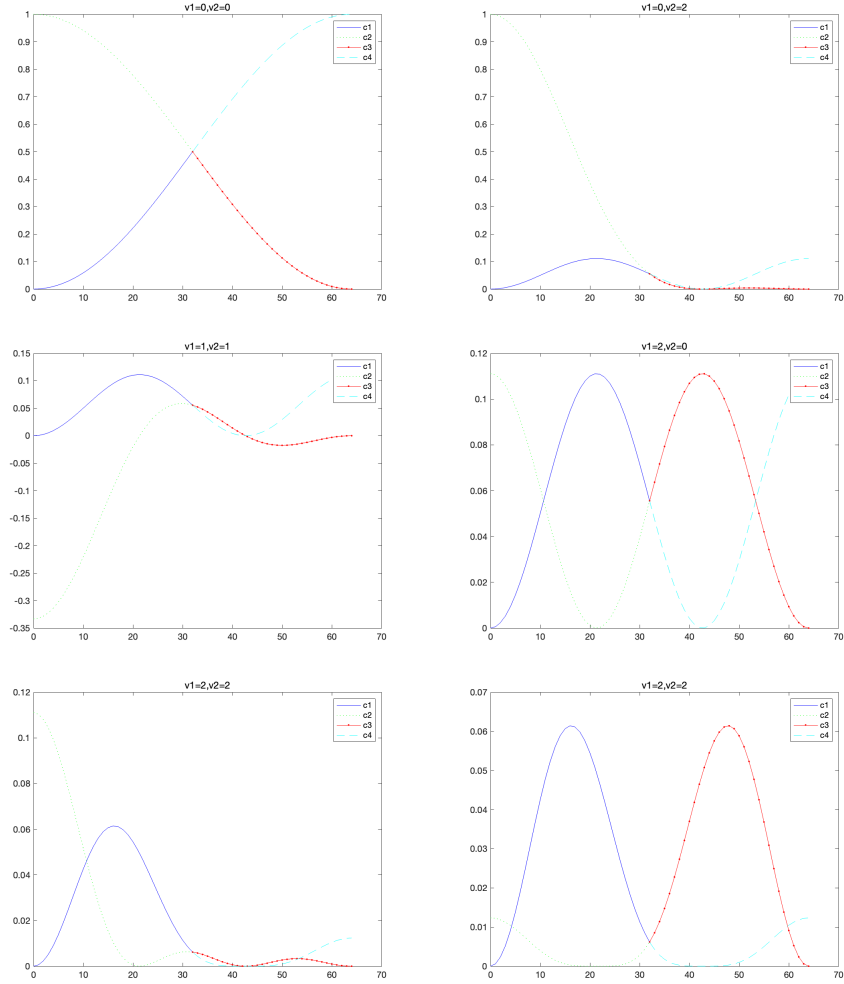
Ex 9.35

由 lemma 9.32 以及 FMG 的算法流程不难得出其计算开销为

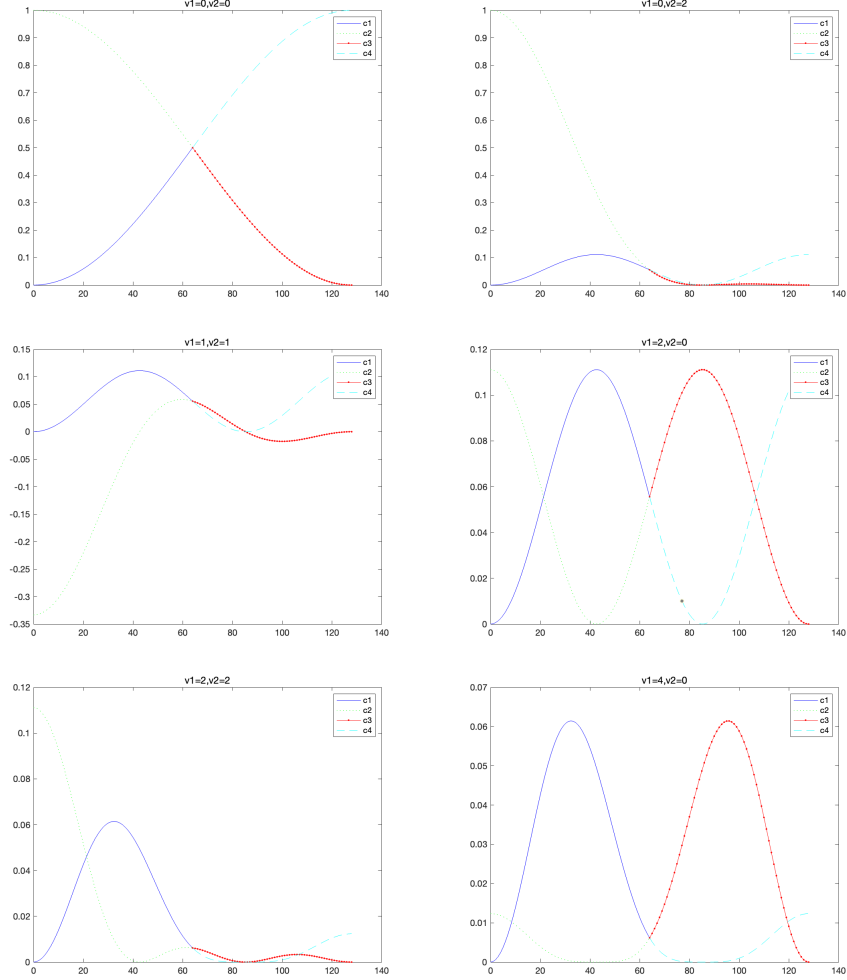
$$\begin{aligned}
 & 2WU(1+2^{-D}+2^{-2D}+\dots+2^{-mD})+2WU(2^{-D}+2^{-2D}+\dots+2^{-mD})+\dots+2WU(2^{-mD}) \\
 &= \frac{WU}{1-2^{-D}}(1+2^{-D}+2^{-2D}+\dots+2^{-mD}-(m+1)2^{-(m+1)D}) \leq \frac{2}{(1-2^{-D})^2}WU \\
 & D=1, 8WUs, \quad D=2, \frac{32}{9}WUs, \quad D=3, \frac{128}{49}WUs.
 \end{aligned}$$

Ex 9.41

以下是 $n=64, \omega=\frac{2}{3}$



以下是 $n = 128, \omega = \frac{2}{3}$



从图像中不难直观看出 c_i 都很小，其原因是 c_i 是 T_ω 和三角函数的乘积，而它们的绝对值都小于 1。具体来看，低频波部分会使得 s_k 和 $\lambda_{k'}$ 很小，高频波部分会使得 c_k 和 λ_k 很小，所以导致了它们都很小。同样的通过画图发现其图像的形状与 n 没有关系，所以仅仅对前六张图进行分析很容易得出 $\rho(TG) \approx 0.1$ 。

Ex 9.45

容易看出 I_h^{2h} 的偶数列的列向量是线形无关的, 且其个数恰好为 $\frac{n}{2} - 1$, 为矩阵的行数, 因此有 $\dim \mathcal{R}(I_h^{2h}), \dim \mathcal{N}(I_h^{2h}) = \frac{n}{2}$ 。